

## ЭНЕРГЕТИЧЕСКИЙ СПЕКТР ЭКСИТАЛЛОВ

© Е.Я.Глушко

Криворожский педагогический институт,  
324000 Кривой Рог, Украина  
(Поступила в Редакцию 25 августа 1995 г.  
В окончательной редакции 6 февраля 1996 г.)

Для гипотетического ограниченного кристалла, описываемого периодической системой потенциальных ям с ширинами, зависящими от энергии возбуждения  $a(E)$ , — экситалла — получено точное решение обобщенной задачи Кронига–Пенни как для дельтообразных барьеров, так и для барьеров конечной толщины. Предложен метод спектральной диаграммы для описания зонных и локальных состояний кристаллов. Показана возможность обобщения решения на случай зависимости параметров потенциала от собственных значений энергии.

Точно решаемая одномерная неограниченная модель кристаллического потенциала, введенная в 30 годах Кронигом и Пенни [1], является в настоящее время одной из наиболее часто используемых моделей физики периодических квантово-размерных структур, в частности полупроводниковых сверхрешеток [2–4]. Имеется множество работ (см., например, [5–8]), посвященных расчетам электронной структуры зон в периодических размерных структурах в рамках так называемого метода огибающих (envelope function approximation — EFA) [5], когда вместо точной волновой функции (ВФ) используется ВФ, усредненная в атомном масштабе. Объединение EFA с существующими расчетными методами для неограниченных полупроводниковых сред (**кp**-метод, метод ЛКАО и др.) дает для сверхрешеток систему чередующихся мини-зон, обусловленных размерным квантованием. Например, в [5] с использованием модели EFA получена мини-зонная картина для дна зоны проводимости и потолка валентной зоны слоев GaAs/AlGaAs и InAs/GaSb. В [6] в рамках EFA рассчитаны зоны и ВФ кристалла Кронига–Пенни для GaAs/Al<sub>0.5</sub>Ga<sub>0.5</sub>As. Учет приповерхностного обрыва потенциала в духе Тамма [9] произведен в [7]. Здесь для полуограниченной среды на основе арсенида галлия получены концентрационные зависимости зонной картины с учетом возникающих поверхностных состояний (ПС).

Помимо приближения огибающих в физике твердотельных периодических структур, моделируемых ограниченным потенциалом Кронига–Пенни, используются также трансляционно-инвариантное приближение (ТИП) и приближение эффективной частицы. Последнее приближение связано с некоторой процедурой «стыковки» движения частицы в атомном масштабе и в масштабе сверхструктуры. Расчеты для

отдельных слоев с учетом кристаллической симметрии дают эффективные массы и энергетический спектр квазичастицы. В масштабе сверхрешетки частица с рассчитанной эффективной массой теперь движется в макроскопическом потенциале, что приводит к возникновению дополнительной зонной структуры, существенно модифицирующей исходную. Следует иметь в виду, однако, что потенциал сверхрешетки не может считаться слабым возмущением. Имеющиеся в литературе данные для актуальных сверхструктур с периодами порядка  $100 \text{ \AA}$  дают для величины модификации энергетических параметров (ширины зон и щелей) величины примерно  $0.1\text{--}1 \text{ eV}$ , что по порядку величины совпадает с объемными значениями. Принципиальный ответ на вопрос о границах применимости приближения эффективной частицы в сверхструктурах могла бы дать точно решаемая динамическая модель двух и более контактирующих систем потенциальных ям.

ТИП соответствует тому, что при решении задач на собственные значения точную систему граничных условий (ГУ), разворачивающихся от границы в глубь кристалла, заменяют после введения трансляционного квантового числа уравнениями для некоторой пары ячеек [7,9]. Между тем, как будет показано далее, наличие границы катастрофическим образом сказывается на ВФ состояний системы. В частности, фазы ВФ в различных ямах имеют нелинейную и неспадающую зависимость от номера ямы, отсчитываемого от границы. Попытка анализа эффективного гамильтониана EFA без использования ТИП предложена в [10], где рассмотрен контакт двух систем потенциальных ям.

В настоящей работе предложено точное решение задачи Шредингера для семейства ограниченных потенциалов Кроника-Пенни и их модификации — экситаллов. Разработан  $E\Omega$ -диаграммный метод, позволяющий наглядно представить полную картину спектра квантово-размерной структуры, включающего зоны, локальные и поверхностные уровни. Анализируются изменения в энергетическом спектре и в условиях существования поверхностных состояний, обусловленные наличием границ. Показано, что экситаллы могут имитировать практически любой одномерный спектр, поставляя при этом в аналитическом виде ВФ всех состояний системы.

## 1. Ограниченная система потенциальных ям с $\delta$ -образными барьерами

Задача Кронига-Пенни допускает расширение области применимости решения. Прежде всего нарушение трансляционной инвариантности, например введение границ, локальных возмущений, в некоторых случаях сохраняет возможность аналитического решения; кроме того, параметры задачи (непроницаемость барьеров и постоянная решетки) могут зависеть от энергии:  $\Omega = \Omega(E)$ ,  $a = a(E)$ . Рассмотрим вначале ограниченную систему ям, разделенных  $\delta$ -потенциальными барьерами. Гамильтониан одномерной задачи для  $N$  ям имеет вид

$$\hat{H} = -\frac{\hbar^2 \Delta}{2m^*} + U(x);$$

$$U(x) = \frac{\hbar^2 \Omega(E)}{m^*} \sum_{l=1}^{N-1} \delta(x - la(E)). \quad (1)$$

Энергия  $E$  здесь выступает как параметр; собственные значения энергии оговариваются особо (см. пояснения к (13), (15)). Граничные потенциальные стенки, отвечающие левому и правому краям образца, в несимметричной задаче различны  $U_0 \neq U_1$ . Решение этой задачи, а также рассматриваемого ниже ограниченного потенциала Кронига–Пенни с конечной толщиной барьеров является общим для семейства аналитически решаемых потенциалов, включающего комбинации последних с  $\delta$ -потенциалами,<sup>1</sup> а также экситаллы. Последние рассматриваются далее (в разделе 3). Стандартные граничные условия без использования ТИП записываются для каждого из межъямных барьеров  $s$

$$\begin{cases} \Psi_s(-) = \Psi_{s+1}(+), \\ \Psi'_s(-) + \Omega(E)\Psi_s(-) = \Psi'_{s+1}(+) - \Omega(E)\Psi_{s+1}(+), \end{cases} \quad (2)$$

где знаки (+) и (-) соответствуют ВФ слева и справа от барьера. Второе из соотношений (2) следует непосредственно из уравнения Шредингера. На границах кристалла в (2) следует полагать  $\Omega = 0$ . Для плоских потенциалов решение задачи на собственные значения внутри  $s$ -й ямы имеет вид

$$\begin{aligned} \Psi_s(x) &= A_s e^{ikx} + B_s e^{-ikx}, \\ k &= \left( \frac{2m^* E}{\hbar^2} \right)^{1/2}. \end{aligned} \quad (3)$$

С учетом (3) ГУ (2) приводят к системе  $2N+2$  линейных однородных уравнений для весовых коэффициентов  $A_s, B_s$ . Структура матрицы этой системы приведена в таблице. После разложения детерминанта  $\text{Det}$  матрицы граничных условий по первым трем столбцам получим

$$\text{Det} = \hat{S}_0^+ \hat{S}_n, \quad n = N - 1,$$

где

$$\begin{aligned} \hat{S}_0^+ &= (\lambda_0, -\nu_0), & \hat{S}_n^+ &= (D_n^1, D_n^2), \\ \lambda_i &= k(\Omega + k_i) \cos ka + (\Omega k_i - k^2) \sin ka, & \nu_i &= k_i \sin ka + k \cos ka, \\ k_i &= \left( 2m(U_i - E)^{1/2} \right) / \hbar, & i &= 0, 1. \end{aligned} \quad (4)$$

«Крест» здесь означает транспонирование и комплексное сопряжение, алгебраические дополнения  $D_n^1, D_n^2$  выражаются через параметры правой границы  $\lambda_1, \nu_1$ . Их предельные значения  $D_1^1 = \nu_1, D_1^2 = -\lambda_1$ . Для столбцовой матрицы  $\hat{S}_n$  справедливо рекуррентное соотношение

$$\hat{S}_m = \hat{\Lambda} \hat{S}_{m-1}, \quad \hat{\Lambda} = \begin{bmatrix} \mu & \nu \\ \lambda & \mu \end{bmatrix}, \quad (5)$$

<sup>1</sup> В частности, известное ГУ Бастарда [5] для огибающих в полупроводниковых сверхструктурах эквивалентно наличию дополнительных  $\delta$ -потенциалов на границах слоев с непроницаемостями  $\Omega = \Omega(E)(\mu_a - \mu_b)/2\mu_a$ , где  $\mu_a, b$  — эффективные массы в слоях.

Матрица системы граничных условий (2)

	0	1	1	2	2	3	3	4	4		-3	-3	-2	-2	-1	-1	0		
0	$Z_0$	$A$	$A$	:															
1	$Y_0$	$W_0$	$W_0^*$	:															
1		$B$	$B^*$	:	$A$	$A$													
2		$C$	$C^*$	:	$D$	$D^*$	:												
2				:	$B$	$B^*$	:	$A$	$A$										
3				:	$C$	$C^*$	:	$D$	$D^*$										
3				:			:	$B$	$B^*$	:	$A$	$A$							
4				:			:	$C$	$C^*$	:	$D$	$D^*$							
4				:			:			:	$B$	$B^*$							
				:			:			:									
				:			:			:	$D$	$D^*$							
				:			:			:	$B$	$B^*$							
				:			:			:									
-3				:			:			:	$D$	$D^*$							
-3				:			:			:	$B$	$B^*$	:	$A$	$A$				
-2				:			:			:	$C$	$C^*$	:	$D$	$D^*$				
-2				:			:			:			:	$B$	$B^*$	:	$A$	$A$	
-1				:			:			:			:	$C$	$C^*$	:	$D$	$D^*$	
-1				:			:			:			:			:	$B$	$B^*$	$Z_1$
0				:			:			:			:			:	$W_1$	$W_1^*$	$Y_1$

Примечание.  $Z_0 = 1$ ,  $A = Z_1 = -1$ ,  $Y_0 = k_0$ ,  $Y_1 = k_1$ ,  $W_0 = -ik$ ,  $B = e^{ika}$ ,  $C = (ik + \Omega)e^{ika}$ ,  $D = -ik + \Omega$ . Пунктиром отмечены миноры матрицы:  $-\nu_0$  — в левом верхнем углу,  $\mu$  — следующий минор,  $-\lambda_1$  в правом нижнем углу.

где

$$\lambda = (\Omega^2 - k^2) \sin ka + 2\Omega k \cos ka, \quad \nu = \sin ka, \quad \mu = -\Omega \sin ka - k \cos ka$$

Благодаря равенству диагональных элементов в  $\hat{\Lambda}$  матрицы  $\hat{\Lambda}^M$  выражаются через четные и нечетные слагаемые биномиальных разложений

$$\hat{\Lambda}^m = \frac{1}{2} \begin{bmatrix} (\mu + \sqrt{\lambda\nu})^m + (\mu - \sqrt{\lambda\nu})^m, & \xi \sqrt{\frac{\nu}{\lambda}} ((\mu + \sqrt{\lambda\nu})^m - (\mu - \sqrt{\lambda\nu})^m) \\ ((\mu + \sqrt{\lambda\nu})^m - (\mu - \sqrt{\lambda\nu})^m) \bar{\xi} \sqrt{\frac{\lambda}{\nu}}, & (\mu + \sqrt{\lambda\nu})^m + (\mu - \sqrt{\lambda\nu})^m \end{bmatrix},$$

$$\xi = \text{sign}(\nu), \quad \bar{\xi} = \text{sign}(\lambda), \quad (6)$$

что позволяет записать детерминант в компактном виде. Спектр системы дается нулями  $\text{Det}$ ,

$$\frac{(\mu + \sqrt{\lambda\nu})^m}{(\mu - \sqrt{\lambda\nu})^m} = \frac{\lambda_1 (\nu_0 + \lambda_0 \xi \sqrt{\nu/\lambda}) + \nu_1 (\lambda_0 + \nu_0 \bar{\xi} \sqrt{\lambda/\nu})}{\lambda_1 (\lambda_0 \xi \sqrt{\nu/\lambda} - \nu_0) + \nu_1 (\nu_0 \bar{\xi} \sqrt{\lambda/\nu} - \lambda_0)}, \quad (7)$$

где  $\lambda, \nu \neq 0$ , здесь и далее  $m = N - 2$ . В мезоскопическом случае ( $N \simeq 10-30$ ) вековое уравнение (7) удобнее использовать в виде, исключающем лишние корни  $\lambda, \nu = 0$  и радикалы,

$$\sum_{s=0}^{\tau^*} C_m^{2s} (\lambda\nu)^s \mu^{m-2s} (\nu_0 \lambda_1 + \lambda_0 \nu_1) - \sum_{s=0}^{\tau-1} C_m^{2s-1} (\lambda\nu)^s \mu^{m-2s-1} (\nu \lambda_0 \lambda_1 + \lambda \nu_0 \nu_1) = 0. \quad (8)$$

Пределы суммирования выражаются в (8) через целую часть ( $[*]$ ):  $\tau = [\frac{m+1}{2}]^*$ ,  $\tau^* = \tau - [2\tau/m]^*$ . Характер энергетического спектра для  $m \gg 1$ , как это видно из (7), определяется знаком произведения  $\lambda\nu$ .

В области  $\lambda\nu > 0$  ( $\bar{\xi} = \xi$ ) существуют генерируемые поверхностью или другим возмущением периодичности локальные уровни. Если число потенциальных ям велико ( $m \gg 1$ ), то решение трансцендентного уравнения (7) для  $\lambda\nu > 0$  упрощается. В пределе  $N \rightarrow \infty$  корни совпадают с нулями или полюсами правой части (7) в зависимости от знака  $\mu$

$$\sqrt{\frac{\lambda}{\nu}} = \zeta \frac{\lambda_i}{\nu_i}, \quad i = 0, 1, \quad \zeta = \xi \text{sign}(\mu). \quad (9)$$

Для локальных состояний ( $\lambda\nu > 0$ )

$$\sqrt{\frac{\lambda}{\nu}} = \zeta \frac{\bar{\Omega} - \Omega}{2}, \quad (10)$$

где  $\bar{\Omega} - \Omega$  — локальное возмущение непроницаемости барьера вдали от внешних границ.

В области  $\lambda\nu < 0$  радикалы в (7) дают мнимую единицу, и спектр определяется известной формулой Муавра. После преобразований имеем

$$\cos \frac{\pi s + \varphi_{01}}{m} = \cos ka + \frac{\Omega(E)}{k} \sin ka, \quad (11)$$

где

$$\varphi_{01} = (-1)^\beta \arccos \frac{a_{01}}{\sqrt{a_{01}^2 + b_{01}^2}},$$

$$a_{01} = \nu_1 \lambda_0 + \nu_0 \lambda_1, \quad \beta = \text{sign}(b), \quad b_{01} = \xi (\nu_1 \nu_0 \sqrt{\lambda/\nu} - \lambda_1 \lambda_0 \sqrt{\nu/\lambda}).$$

Индекс  $s$  принимает от  $N$  до  $m$  целых значений для каждой из разрешенных зон при условии, что аргумент косинуса в левой части принадлежит отрезку  $[0, \pi]$ . Соотношение (11) обобщает результат, полученный Кронигом и Пенни для неограниченного случая. Роль трансляционного волнового числа здесь выполняет  $2\pi s/m$ . Края зон определяются нулями  $\lambda$  и  $\nu$  (см. примечание к (7)), центры зон соответствуют точкам  $\mu = 0$ . Из (11) следует соотношение для плотности зонных состояний ( $m \gg 1$ )

$$\frac{ds}{dk} = \left[ \left( ka + \frac{\Omega}{k} \right) \sin ka - \Omega a \cos ka \right] \frac{m}{\pi \sqrt{-\lambda \nu}}. \quad (12)$$

Максимум электронной плотности приходится на края зон, а минимум — на центры зон, где знаменатель в (12) максимален. Последнее легко показать, если учесть соотношение  $\mu^2 = k^2 + \lambda \nu$ .

Общий вид фрагмента ВФС для  $s$ -ямы кристалла может быть получен в аналитическом виде методом Крамера [11] (см. таблицу)

$$\Psi_s(x) = \bar{A} \begin{cases} \frac{k^2}{\nu_0} e^{k_0 x}, & s = 0, \quad x < 0, \\ b \sin(kx + \alpha_0), & s = 1, \\ \eta e^{-\frac{a(s-2)}{l_0}} \sin(kx_s + \phi), & s \in [2, N], \end{cases} \quad (13)$$

где  $\alpha_0 = \text{arctg}(k/k_0)$ ,  $b = kg_0/\nu_0$ ,  $\phi = \text{arctg}(k/\zeta_1)$ ,  $\zeta_1 = \Omega(E) + \zeta\sqrt{\lambda\nu}$ ,  $\eta^2 = k^2 + \zeta_1^2$ ,  $s = \left[ \frac{x}{a} \right]^* + 1$ ,  $x_s = x - sa + a$ ,  $g_i^2 = 2m^*U_i/\hbar^2$ ,  $\nu_0 = \sin \alpha_0$ ,  $\bar{A}$  — нормировочный коэффициент,  $k(E)$  удовлетворяет уравнению (9), скобки  $[ ]^*$  обозначают целую часть. Длина затухания  $l_0$  в (13) определяется выражением

$$l_0 = a / \left| \ln \frac{k}{|\mu| - \sqrt{\lambda\nu}} \right|. \quad (14)$$

Как это следует из (14), амплитуда ПС совмещает в себе ступенчатую и экспоненциальную зависимости. Вблизи краев зоны ( $|\mu| - \sqrt{\lambda\nu} \rightarrow k$ ), и длина затухания становится порядка размеров кристалла. ВФ локального возмущения  $\bar{\Omega} - \Omega$  имеет вид (13), где в показателе экспоненты  $s-2 \rightarrow |s-s_1|$ ,  $s_1$  — номер возмущенного барьера в глубине кристалла,  $k$  определяется из (10). Для зонных состояний в третьей строке (13) следует подставлять выражение

$$\begin{aligned} \eta_0 \left[ \sin kx_s \left( (\lambda\nu_0 + \lambda\Omega\nu) \sin(\varphi(s-2)) + \sqrt{-\lambda\nu}(\lambda + \nu_0\Omega) \cos(\varphi(s-2)) \right) + \right. \\ \left. + k \cos kx_s \left( \lambda_0\nu \sin(\varphi(s-2)) + \nu_0\sqrt{-\lambda\nu} \cos(\varphi(s-2)) \right) \right], \\ \varphi = \arccos(-k/\mu), \quad s \in [2, N]. \end{aligned} \quad (15)$$

Теперь  $k$  удовлетворяют уравнению (11), зависимость от  $U_1$  содержится в  $k$ ,  $\eta_0 = k\nu_0\sqrt{-\lambda\nu}$ . С учетом сделанных добавлений ВФ (13) представляет собой одно из возможных состояний системы.

## 2. $E\Omega$ -диаграмма

Представленная на рис. 1 диаграмма энергии для случая  $N \gg 1$ ,  $g_1 = g_0 = 16/a$ , включает все решения уравнений (8), (11) для значения  $\Omega$ , меняющегося от  $-30/a(E)$  до  $30/a(E)$ . Область  $\Omega < 0$  соответствует ограниченной периодической системе впадин. Возникновение зон в этой области обусловлено не туннелированием, а надбарьерным отражением. Характер спектра здесь обращенный по сравнению со случаем  $\Omega > 0$ , максимальное число состояний — в зонах  $(N - 1)$ , а в области  $k^2 < 0$  также имеются решения. Ограниченная периодическая система  $\delta$ -впадин была рассмотрена недавно в [10]; полученные там качественные результаты относительно структуры зон в левой части  $E\Omega$ -диаграммы согласуются с нашими. Кривая  $A$  ( $y = (g_0^2 - \Omega^2)^{1/2}$ ) разграничивает полуплоскость  $\Omega > 0$  по характеру отщепления левого ПС [11]. Спектральная картина системы определяется видом  $\Omega(E)$ . В простейшем случае  $\Omega = \text{const}$  вертикальное сечение диаграммы (линия  $B$ ) дает чередующиеся разрешенные и запрещенные зоны с локальными уровнями в последних (колонка  $C$ ). В более сложных случаях спектральная картина задается путем вдоль кривой  $k(\Omega)$ .

Если  $N$  невелико, то вместо (7) и (9) следует использовать (8). Картина спектра для  $N = 9$  в случае, когда правый барьер несколько выше левого, приведена на рис. 2. С ростом  $N$  заметная трансформация состояний имеет место лишь в области малых  $\Omega$ . Для  $|\Omega| \gg 1$  спектральная картина изменяется слабо.

## 3. Экситалл

Рассмотренная выше процедура решения остается неизменной и в случае, если параметры решетки кристалла, например  $a$  и  $\Omega$ , зависят от энергии возбуждения. Такую модель можно назвать экситаллом. С ростом энергии частицы в экситалле решеточный потенциал меняет свой вид.

Расчет состояний простейшего ограниченного экситалла — дираковской гребенки — производится при учете только волнового движения. Пространство, отвечающее туннельному движению, не включено в рассмотрение из-за специфического вида взаимодействия. В этом случае  $a(E)$  и  $\Omega(E)^2$  независимы, и их комбинации могут давать любой тип спектра. Например, множество решений для экситалла, переходящих в пределе изолированных потенциальных ям в спектр одномерного гармонического осциллятора, имеет место в случае

$$a(E) = \pi \left( E - \frac{\hbar\omega}{2} \right) / \omega \sqrt{2m^* E}, \quad (16)$$

где  $\omega$  — собственная частота осциллятора. Аналогичный предельный переход для кулоновских потенциальных ям дается  $3^d$ -экситаллом с потенциалом  $U(r) = U(x) + U(y) + U(z)$  (см. (1)), где следует учесть энергетическую зависимость постоянных решетки  $a_x = a_y = a_z = \pi e^2 / E$ .

<sup>2</sup>  $a(E)$  определяет масштаб осей  $ka$  и  $\Omega a$  на  $E\Omega$ -диаграмме; выбор конкретного спектра из диаграммы определяется путем вдоль кривой  $k = k(\Omega)$ .

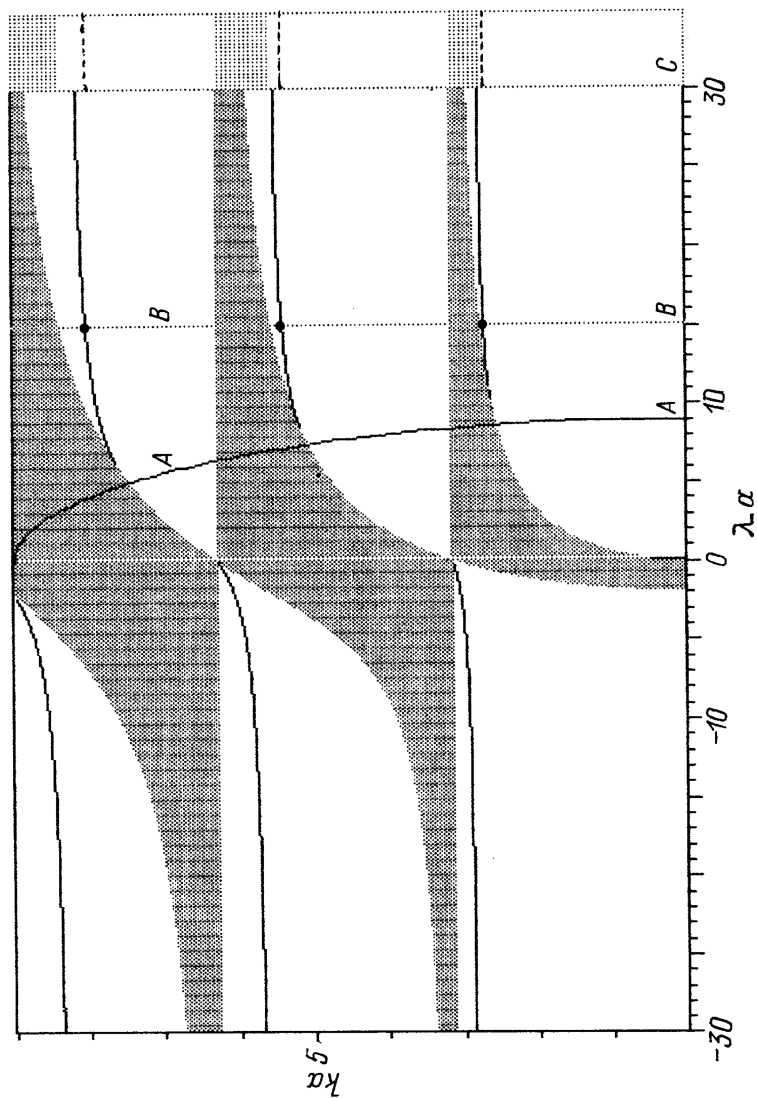


Рис. 1. Диаграмма энергетического спектра симметричной системы плоских потенциальных ям с  $\delta$ -барьерами.  
 $ga = g_1a = 9$ . Разрешенные зоны энергий закрашены, сплошные линии относятся к поверхностным состояниям, кривая  $A$  ( $k = \sqrt{g_0^2 - \Omega^2}$ ) определяет в области  $\Omega > 0$  границу отщепления локальных состояний, колонка  $C$  — спектр, отвечающий линии  $B$ , штриховыми линиями отмечены ПС.



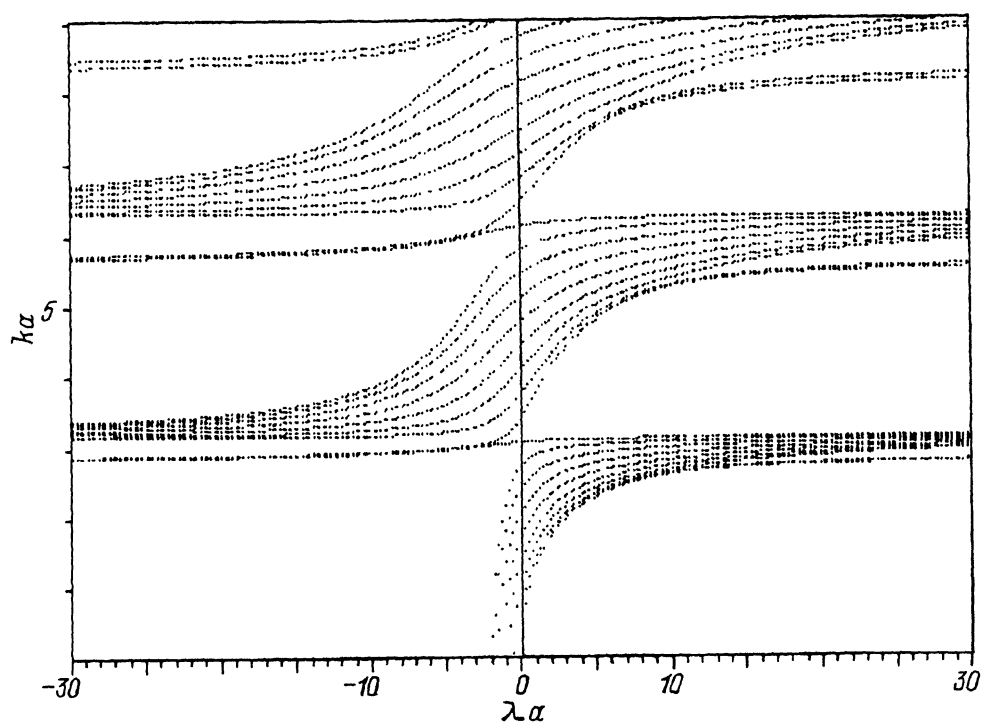


Рис. 2.  $E\Omega$ -диаграмма для  $N = 9$ . Асимметричный случай. Точки — решения дисперсионного уравнения (8),  $ga = 9$ ,  $g_1a = 9.5$ .

В случае тонких межъямных барьеров в реальном кристалле его спектр близок к спектру экситалла с  $\delta$ -образными барьерами. Если же изменением ВФ в барьере нельзя пренебречь, то разработанный выше подход должен быть модифицирован.

#### 4. Ограниченный потенциал Кронига-Пенни

В случае ограниченной одномерной решетки Кронига-Пенни с барьерами высотой  $\bar{U}$  и шириной  $b$  ( $a + b = d$ ) матрица системы ГУ (см. таблицу) дополняется условиями стыковки волновой и туннельной частей решения

$$\bar{\Psi}_s(x) = \bar{A}_s e^{\bar{k}x} + \bar{B}_s e^{-\bar{k}x},$$

где

$$\bar{k} = \left( 2m (\bar{U} - E) \right)^{1/2} / \hbar.$$

С помощью рекуррентного соотношения (5) дисперсионное уравнение приводится к виду

$$\left( \bar{\lambda}_0, \nu_0 \right) \hat{A}_1^n \begin{pmatrix} \nu_1 \\ -\lambda_1 \end{pmatrix} = 0, \quad n = N - 1, \quad (17)$$

где

$$\bar{\lambda}_0 = \lambda_0 - \Omega\nu_0, \quad \bar{\nu}_1 = k_1 \bar{\nu} - \bar{\mu}, \quad \bar{\lambda}_1 = \lambda - k_1 \mu',$$

$$\bar{\mu} = k^2 \sin ka \operatorname{sh} \bar{k}b - \bar{k}k \cos ka \operatorname{ch} \bar{k}a,$$

$$\mu' = -\bar{k}^2 \sin ka \operatorname{sh} \bar{k}b - \bar{k}k \cos ka \operatorname{ch} \bar{k}a, \quad \hat{\Lambda}_1 = \begin{pmatrix} \bar{\mu} & \bar{\nu} \\ \bar{\lambda} & \mu' \end{pmatrix},$$

$$\bar{\nu} = \bar{k} \sin ka \operatorname{ch} \bar{k}b + k \cos ka \operatorname{sh} \bar{k}a,$$

$$\bar{\lambda} = \bar{k}k (\bar{k} \cos ka \operatorname{sh} \bar{k}b - \bar{k}k \sin ka \operatorname{ch} \bar{k}a). \quad (18)$$

Предельный переход  $b \rightarrow 0$ ,  $\bar{k}^2 b = 2\Omega$ , дает полученное выше решение для  $\delta$ -образной ограниченной потенциальной гребенки. Диагональные элементы матрицы  $\hat{\Lambda}_1$  не равны между собой, поэтому использовать соотношение (5) нельзя. Однако и в этом случае возможность аналитического решения (17) определяется представимостью степени матрицы  $\hat{\Lambda}_1$  через некоторую степень матричных элементов. Для достижения цели представим  $\hat{\Lambda}_1$  в виде суперпозиции двух матриц  $\hat{X}_1$ ,  $\hat{X}_2$ , обладающих репродуктивным свойством:  $\hat{X}_i^2 = \alpha_i \hat{X}_i$ ; кроме того, должно выполняться условие ортогональности  $\hat{X}_1 \hat{X}_2 = 0$ .

$$\begin{pmatrix} \bar{\mu} & \bar{\nu} \\ \bar{\lambda} & \mu' \end{pmatrix} = \frac{\bar{\mu}}{2} \left[ \begin{pmatrix} 1 & t \\ y & ty \end{pmatrix} + \begin{pmatrix} 1 & z \\ -1/t & -z/t \end{pmatrix} \right]. \quad (19)$$

Легко убедиться, что указанные требования удовлетворяются при

$$\begin{aligned} t &= \frac{\mu' - \bar{\mu}}{2\bar{\lambda}} + \sqrt{\left(\frac{\bar{\mu} - \mu'}{2\bar{\lambda}}\right)^2 + \frac{\bar{\nu}}{\bar{\lambda}}}, \\ y &= \frac{\bar{\mu} - \mu'}{2\bar{\nu}} + \sqrt{\left(\frac{\bar{\mu} - \mu'}{2\bar{\nu}}\right)^2 + \bar{\lambda}\bar{\nu} + \frac{2\bar{\lambda}}{\bar{\mu}}}, \\ z &= \frac{\bar{\mu} - \mu'}{2\bar{\lambda}} - \sqrt{\left(\frac{\bar{\mu} - \mu'}{2\bar{\lambda}}\right)^2 + \frac{\bar{\nu}}{\bar{\lambda}} + \frac{2\bar{\nu}}{\bar{\mu}}}, \end{aligned} \quad (20)$$

$$\hat{\lambda}_1^n = \left(\frac{\bar{\mu}}{2}\right)^n \left( \alpha_1^m \hat{X}_1 + \alpha_2^m \hat{X}_2 + \gamma \hat{G} \frac{\alpha_1^m - \alpha_2^m}{\alpha_1 - \alpha_2} \right), \quad (21)$$

где

$$\gamma \hat{G} = \hat{X}_1 \hat{X}_2, \quad \gamma = 1 + yz, \quad \alpha_1 = 1 + ty, \quad \alpha_2 = 1 - y/z, \quad \bar{\mu} = (\bar{\mu} + \mu')/2. \quad (22)$$

С учетом (20)–(22) дисперсионное уравнение для ограниченного потенциала Кронига–Пенни принимает вид

$$\begin{aligned} & \left( \bar{\mu} + \sqrt{\lambda_\nu} \right)^m (\bar{\nu}_1 - \bar{\lambda}_1 t) \left[ \bar{\lambda}_0 \left( 1 + \frac{\gamma}{\alpha_1 - \alpha_2} \right) - \frac{\bar{\nu}_0}{x} \left( ty - \frac{\gamma}{\alpha_1 - \alpha_2} \right) \right] - \\ & - \left( \bar{\mu} - \sqrt{\lambda_{\nu u}} \right)^m (\bar{\nu}_0 + \bar{\lambda}_0 x) \left[ \bar{\lambda}_1 \left( \frac{z}{t} - \frac{\gamma}{\alpha_1 - \alpha_2} \right) + \frac{\bar{\nu}_1}{t} \left( -1 + \frac{\gamma}{\alpha_1 - \alpha_2} \right) \right] = 0, \end{aligned} \quad (23)$$

где  $4\lambda_\nu = (\bar{\mu} - \mu')^2 + 4\lambda\nu$ . После преобразования квадратных скобок в (23) имеем

$$\begin{aligned} & \left(\bar{\mu} + \sqrt{\lambda_{nu}}\right)^m \left(\bar{\nu}_1 - \bar{\lambda}_1 t\right) \left(\bar{\lambda}_0 \bar{\nu} - \bar{\nu}_0 \bar{\lambda} t\right) + \\ & + \left(\bar{\mu} - \sqrt{\lambda_{nu}}\right)^m \left(\bar{\nu}_0 - \bar{\lambda}_0 t\right) \left(\bar{\lambda}_1 \bar{\nu} + \bar{\nu}_1 \bar{\lambda} t\right) = 0. \end{aligned} \quad (24)$$

Характер спектра определяется знаком подкоренного выражения  $\lambda_\nu$ . Зонные состояния реализуются в области значений параметров  $\lambda_\nu < 0$ . Процедура получения уравнения для зонных состояний из (24) рассмотрена выше для случая  $\delta$ -потенциала. В результате имеем

$$\cos \frac{\pi s + \Phi_x}{m} = \cos ka \operatorname{ch} \bar{k} b + \frac{\bar{k}^2 - k^2}{2\bar{k}k} \sin ka \operatorname{sh} \bar{k} b, \quad (25)$$

где

$$\Phi_x = \frac{1 - \zeta_x}{2} \pi - \operatorname{arctg} \frac{\sin \varphi_x (\bar{\nu}_1 \bar{\lambda}_0 + \bar{\nu}_0 \bar{\lambda}_1)}{b_x},$$

$$\zeta_x = \operatorname{sign}(b_x), \quad b_x = \cos \varphi_x (\bar{\nu}_1 \bar{\lambda}_0 - \bar{\nu}_0 \bar{\lambda}_1) - (\bar{\lambda}_1 \bar{\lambda}_0 + \bar{\nu}_0 \bar{\nu}_1 \lambda) \sqrt{-\lambda_\nu}, \quad (26)$$

$$\varphi_x = \frac{\bar{\mu} - \mu'}{2\sqrt{-\lambda_\nu}}. \quad (27)$$

Влияние границ на энергию и плотность зонных состояний определяется фазой  $\Phi_x$ , отсутствующей в каноническом дисперсионном уравнении Кронига-Пенни [1,12]. Оценки показывают, что ширины зон устанавливаются уже при  $N \approx 15-20$ ; с дальнейшим ростом  $N$  меняется лишь плотность состояний. В широкозонном материале граничная модификация спектра может охватить все актуальные при данной температуре уровни. Если  $N \approx 30-100$  и ширина зоны проводимости  $\approx 1$  eV, то, полагая в (25)  $\Phi_x \approx \pi$ ,  $\Delta s \approx 10$ , имеем для искаженных областей энергий вблизи два зоны проводимости и потолка валентной зоны  $\Delta \varepsilon \approx 0.1$  eV. Еще в большей степени влияние границ сказывается на ВФ и пространственном распределении электронной плотности в зонных состояниях. Вид ВФ определяется по правилу Крамера прямым расчетом матриц производных от матрицы системы ГУ. В частном случае  $\delta$ -барьеров ВФ описана выше формулами (13)-(15).

В области  $\lambda_\nu > 0$  существуют локальные и поверхностные состояния. Для случая  $m \gg 1$  уравнения для ПС имеют наиболее простой вид

$$\begin{cases} \bar{\nu}_1 = t \bar{\lambda}_1, \\ \bar{\nu}_0 \bar{\lambda} t = \bar{\nu} \bar{\lambda}_0, \end{cases} \quad \bar{\mu} > 0, \quad (28)$$

$$\begin{cases} \bar{\nu}_0 = -t \bar{\lambda}_0, \\ \bar{\nu}_1 \bar{\lambda} t = -\bar{\nu} \bar{\lambda}_1, \end{cases} \quad \bar{\mu} < 0. \quad (29)$$

Энергетическая диаграмма системы показана для различных толщин барьеров на рис. 3.  $E\Omega$ -диаграмма для  $b = 0.0011a$  (рис. 3, а) практически совпадает с аналогичной диаграммой для  $\delta$ -барьеров. При

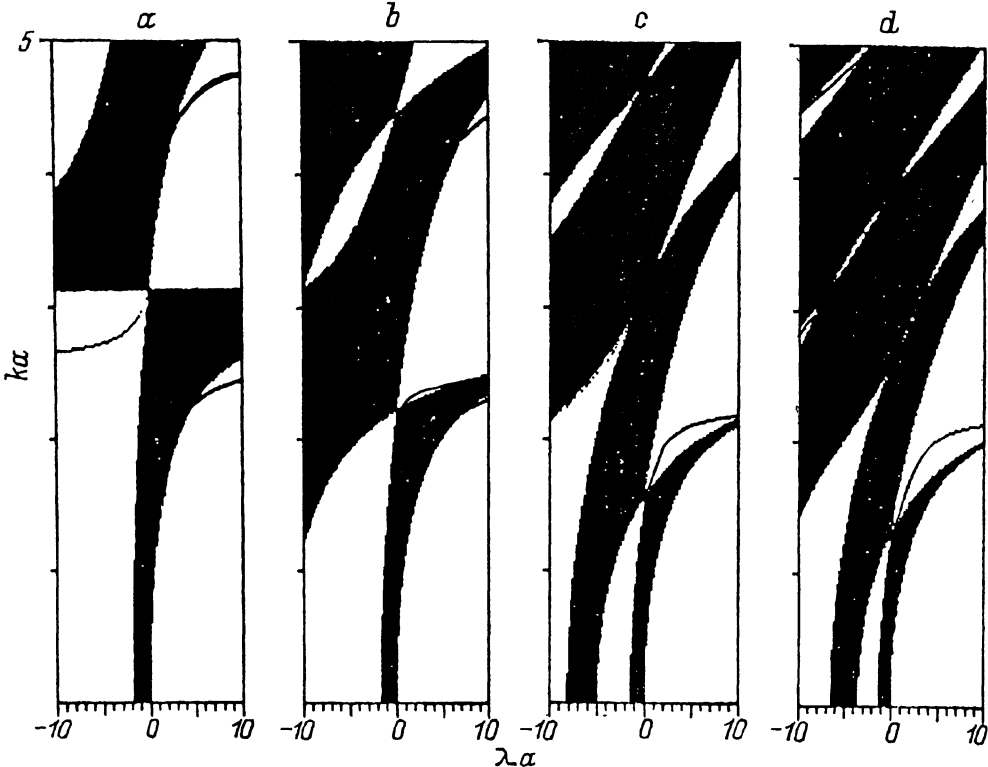


Рис. 3.  $E\Omega$ -диаграмма для ограниченного потенциала Кронига-Пенни для  $b = 0.0011$  а (а),  $0.41$  а (б),  $1.0$  а (в) и  $1.41$  а (г)

а — диаграмма совпадает с аналогичной для  $\delta$ -образных барьеров,  $\Omega = m^* \bar{U} a / \hbar^2$ .

утолщению барьеров из-за эффективного увеличения ширины общей потенциальной ямы число состояний в ней возрастает (рис. 3, б-г), несмотря на уменьшение эффективной глубины. Можно видеть, что с ростом непроницаемости барьеров  $\Omega = m^* \bar{U} b / \hbar^2$  в области  $\Omega > 0$  зоны сужаются и выталкиваются вверх. Наоборот, при  $\Omega < 0$  (барьеры опрокинуты) с ростом  $|\Omega|$  зоны опускаются в область  $k^2 < 0$ . Локальные состояния, обусловленные внешними поверхностями, показаны на рис. 3 сплошными линиями. Спектр сверхструктуры задается соответствующим вертикальным сечением  $E\Omega$ -диаграммы для данных параметров  $a, b, \bar{U}$ . Произвольным сечениям отвечают экситаллы. Спектр экситалла, включающий полный набор зонных и локальных состояний в потенциальной яме всего кристалла, их ВФ, дает базис нулевого приближения задачи с произвольным одномерным ограниченным кристаллическим потенциалом. Потенциал  $V(x_s)$  в таком подходе определяет в пределах элементарной ячейки зависимость ширины ямы  $a(E)$  и барьера  $b(E) = d - a(E)$ . Кривая  $\Omega(E)$  теперь имеет вид

$$\Omega(E) = \frac{m^* \bar{U}(E) b(E)}{\hbar^2}, \quad (30)$$

где  $\bar{U}(E)$  задает зависимость высоты внутреннего барьера от энергии.

ВФ в рассматриваемом случае находится (коэффициенты  $A_s, B_s$ ) с помощью правила Крамера. Для фрагмента ВФ в  $s$ -й элементарной ячейке имеем:

$$\Psi_s(x) = \bar{A} \begin{cases} \left( \frac{\mu'_1 \alpha'_1}{2k\bar{k}} \right)^{s-1} (\nu'_1 - \lambda'_1 t') (\lambda'_0 \bar{\nu} - \nu_0 \bar{\lambda} t') + \left( \frac{\mu'_2 \alpha'_2}{2k\bar{k}} \right)^{s-1} (\nu'_1 - \lambda'_1 t') (\lambda'_0 \bar{\nu} - \nu_0 \bar{\lambda} t'); \\ \left( \frac{\bar{\mu} \alpha_1}{2k\bar{k}} \right)^{s-1} (\nu_1 - \lambda_1 t) (\lambda_0 \bar{\nu} - \nu_0 \bar{\lambda} t) + \left( \frac{\bar{\mu} \alpha_2}{2k\bar{k}} \right)^{s-1} (\nu_1 - \lambda_1 t) (\lambda_0 \bar{\nu} - \nu_0 \bar{\lambda} t). \end{cases} \quad (31)$$

Здесь  $s = \left[ \frac{x}{a} \right]^* + 1$ ,  $\nu'_1 = -\sin(kx_s)$ ,  $\lambda'_1 = -k \cos(kx_s)$ ,  $\nu'_0 = 1$ ,  $\lambda'_0 = k_0$ ,  $\nu_1 = -\text{sh}(\bar{k}\bar{x}_s)$ ,  $\lambda_1 = -k\text{ch}(\bar{k}\bar{x}_s)$ ,  $x_s = x - s_a + a$ ,  $t' = t(\bar{\mu} \rightarrow \mu')$ . Верхняя часть (31) описывает вид ВФ внутри ямы, а нижняя — внутри барьера. Соотношение (31) применимо как для локальных, так и для зонных состояний. Однако для зонных состояний можно получить более удобную форму ВФ после раскрытия комплексных выражений в (31) ( $\lambda_\nu < 0$ ), учитывая соотношение для модулей величин

$$|\mu \alpha_1| = |\mu' \alpha'_1| = 2k\bar{k},$$

$$\Psi_s(x) = \bar{A} \begin{cases} \sin \varphi(s-1) \left[ \frac{\bar{\mu} - \mu'}{2} (k \cos kx_s + k_0 \sin kx_s) + kk_0 \bar{\nu} \cos kx_s + \right. \\ \left. + \bar{\lambda} \cos kx_s \right] - \cos \varphi(l-1) \bar{\xi} \sqrt{\lambda \nu} (k \cos kx_s + k_0 \sin kx_s), \\ \sin \varphi(s-1) \left[ \frac{\mu' - \bar{\mu}}{2} (\bar{\lambda}_0 \text{sh} \bar{k}\bar{x}_s + \nu_0 \bar{k} \text{ch} \bar{k}\bar{x}_s) + \bar{\lambda} \nu_0 \text{sh} \bar{k}\bar{x}_s + \right. \\ \left. + \bar{k} \bar{\nu} \bar{\lambda} \text{ch} \bar{k}\bar{x}_s \right] - \cos \varphi(l-1) \bar{\xi} \sqrt{\lambda_\nu} (\bar{\lambda}_0 \text{sh} \bar{k}\bar{x}_s + \nu_0 \bar{k} \text{ch} \bar{k}\bar{x}_s). \end{cases} \quad (32)$$

Другой путь решения задачи с произвольным непрямоугольным ограниченным периодическим потенциалом связан с моделированием потенциала элементарной ячейки ступенчатой зависимостью. Общее дисперсионное уравнение в этом случае имеет вид (17)

$$(-k_0, 1) \hat{\Lambda}_0^N \begin{pmatrix} -1 \\ k_1 \end{pmatrix} = 0, \quad (33)$$

где

$$\hat{\Lambda}_0 = \prod_{s=1}^r \Lambda_s = \begin{pmatrix} \bar{\mu} & \bar{\nu} \\ \bar{\lambda} & \bar{\mu}' \end{pmatrix}, \quad \hat{\Lambda}_s = \begin{pmatrix} \mu_s & \nu_s \\ \lambda_s & \mu_s \end{pmatrix}. \quad (34)$$

Здесь  $s$  нумерует ступеньки внутри ямы,  $r$  — число ступенек, матричные элементы в (34) определяются (5), где следует положить  $\Omega = 0$  и  $k = k_s$ . В таком подходе численные расчеты производятся только при получении матрицы  $\hat{\Lambda}_0$ , аналитическое решение уравнения (33) получается с использованием предложенной в настоящем разделе процедуры (19)–(22). Результаты (19)–(29) при этом остаются в силе после замены в матричных элементах верхнего индекса тильды на черту.

Представленный анализ позволяет сделать общие выводы относительно свойств решений для ограниченных одномерных потенциалов.

Для локализованных состояний отказ от ТИП [1,9] приводит к разному характеру отщепления ПС в различных частях  $E\Omega$ -диаграммы (рис. 1). Более сложной выглядит зонная картина сверхрешеток. В случае, если внутренние барьеры ниже внешних ( $\bar{U} < U_0$ ), вершины  $\bar{U}$  оказываются погруженными в одну из зон. Это заключение носит общий характер, поскольку в области энергий вблизи  $\bar{U}$  непроницаемость  $\Omega(E)$  стремится к нулю.

Неожиданными выглядят заметные отличия точного решения  $\Psi(x)$  для зонных состояний (15) и (31), (32) от трансляционно-инвариантных функций Блоха. Амплитуда и фаза ВФ (15), (32) немонотонно и нелинейно зависят от номера ямы  $s$ . Как это видно из (15), (32), нелинейной частью фазы пренебрегать нельзя, несмотря на то что для внутренних областей кристалла  $kas \gg \varphi$ . В целом выход за рамки ТИП слабо модифицирует известную зонную картину (см. (11)) и плотность состояний, однако коренным образом видоизменяет распределение электронной плотности внутри кристалла. Последнее обстоятельство может сильно сказываться на интегральных характеристиках системы, например на диэлектрической проницаемости, подвижности носителей, проводимости и т.п.

Включение в схему сил изображения [13], искажающих приповерхностные потенциальные ямы,

$$\Delta U(x) = \frac{e^2(\varepsilon_1 - \varepsilon_2)}{\varepsilon_2(\varepsilon_1 + \varepsilon_2)} \frac{1}{2x}$$

(где  $\varepsilon_1, \varepsilon_2$  — диэлектрические проницаемости внешней среды и кристалла соответственно,  $e$  — заряд частицы) приводит в симметричном случае к обобщенному дисперсионному уравнению

$$(-k_0, 1) \prod_{s=1}^r \hat{\Lambda}_s \hat{\Lambda}^{m-2r} \prod_{s=r}^1 \hat{\Lambda}_s \begin{pmatrix} -1 \\ \bar{k}_1 \end{pmatrix} = 0, \quad (35)$$

где  $r$  — число ячеек у левой (правой) границы кристалла с существенным приповерхностным сдвигом потенциала. Для простоты барьеры, разделяющие ячейки, считаются здесь  $\delta$ -образными. В случае  $N \gg 2r$  зонная картина (рис. 1,3) практически не подвержена действию сил изображения, однако локальные состояния заметно изменяются

$$(\bar{\lambda} - k_0 \bar{\mu}) \sqrt{|\nu|} - \zeta(k_0 \bar{\nu} - \bar{\mu}') \sqrt{|\lambda|} = 0. \quad (36)$$

Здесь матричные элементы определяются согласно (32),  $k_0$  в соответствии с (4) учитывает сдвиг дна граничных потенциальных ям.

В семейство точно решаемых потенциалов входит также трехмерный потенциал сферической сверхрешетки, представляющей собой чередующиеся шаровые слои двух материалов. Подобные сверхструктуры теоретически изучены слабо. Рассмотренная выше процедура в полной мере применима к центрально-симметричным состояниям в такой системе — сферическим волнам. В частности, в случае  $\delta$ -функциональных барьеров в сферической сверхрешетке задача

на собственные значения сводится к дисперсионному уравнению вида (33), где вместо элементов левой матрицы-строки  $\nu_0, \lambda_0$  (см. (4)) следует подставлять

$$\nu_0 = -\sin k_0 r_0, \quad \lambda_0 = -k_0 \cos k_0 r_0 - \left( \Omega - \frac{1}{r_0} \right) \sin k_0 r_0,$$

$r_0$  — радиус внутренней сферы, элементы матрицы  $\hat{\Lambda}_s$  имеют вид

$$\nu_s = \sin ka, \quad \mu_s = k \cos ka + \left( \Omega - \frac{1}{r_0 + as} \right) \sin ka,$$

$$\mu'_s = k \cos ka + \left( \Omega + \frac{1}{r_0 + a(s-1)} \right) \sin ka,$$

$$\lambda_s = -k \left( 2\Omega - \frac{1}{r_0 + as} + \frac{1}{r_0 + a(s-1)} \right) \cos ka +$$

$$+ \left( k^2 - \left( \Omega - \frac{1}{r_0 + as} \right) \left( \Omega + \frac{1}{r_0 + a(s-1)} \right) \right) \sin ka,$$

$$k_1 = k + \frac{1}{r_0 + Na}. \quad (37)$$

Предел  $r_0 \rightarrow \infty$  дает полученный в разделе 1 результат для ограниченной плоской системы потенциальных ям с  $\delta$ -функциональными барьерами как для локальных, так и для зонных состояний.

Автор признателен Э.А. Пашицкому, В.И. Сугакову и П.Н. Томчуку за полезное обсуждение работы.

В заключение автор выражает благодарность Международному фонду Дж. Сороса за частичную поддержку этой работы.

#### Список литературы

- [1] Kronig R.L., Penney W. Proc. Roy. Soc. **130**, 499 (1931).
- [2] Esaki L. IEEE J. Quant. Electron. **QE-22**, 1611 (1986).
- [3] Bastard G. Wave Mechanics Applied to Semiconductor Heterostructures. Les Edition de Physique. Les Ulmes Cedex France (1988).
- [4] Силин А.П. УФН **147**, 485 (1985).
- [5] Bastard G. Phys. Rev. **B24**, 5693 (1981).
- [6] Hung-Sik Cho, Prucnal P.L. Phys. Rev. **B36**, 3237 (1987).
- [7] Steslichka M., Kucharchuk R., Glasser M.L. Phys. Rev. **B42**, 1458 (1990).
- [8] Sasaki A. Phys. Rev. **B30**, 7016 (1984).
- [9] Тамм И.Е. ЖЭТФ **3**, 34 (1933); Лифшиц И.М., Пекар С.И. УФН **56**, 4, 531 (1955).
- [10] Brezini A., Zekri M. Solid State Commun. **86**, 613 (1993).
- [11] Глушко Е.Я. ФТТ **36**, 2417 (1994); ФТТ **38**, 223 (1996).
- [12] Лившиц Е.М., Питаевский Ф.П. Статистическая физика. М. (1978). Т. 9. Ч. 2.
- [13] Ландау Л.Д., Лифшиц Е.М. Электродинамика сплошных сред. М. (1978). Т. 8.